



# مدیریت جریان ترافیک هوایی پروازهای ورودی با رویکرد NSGAII و MOGWO (مطالعه موردی: فرودگاه بین المللی مشهد)

منیژه تیموری

دانشجوی دکتری مدیریت صنعتی، واحد تبریز، دانشگاه ازاد اسلامی، تبریز، ایران

هوشمنگ تقی زاده (نویسنده مسؤول)

استاد گروه مدیریت صنعتی، واحد تبریز، دانشگاه ازاد اسلامی، تبریز، ایران

Email:taghizadeh@iaut.ac.ir

محمود جعفر پور

دانشیار گروه ریاضی کاربردی، دانشگاه مدنی آذربایجان، تبریز، ایران

مرتضی هنرمند عظیمی

استادیار گروه مدیریت، واحد تبریز، دانشگاه ازاد اسلامی، تبریز، ایران

تاریخ دریافت: ۱۴۰۰/۰۸/۰۸ \* تاریخ پذیرش ۱۴۰۰/۰۴/۳۱

چکیدہ

مدیریت ترافیک هوایی یکی از مشاغل حساس و پراسترس است که همه روزه با مشکلات و موانع مختلفی روبرو می‌شود و مسئله توالی هواییما یکی از مهم‌ترین مسائلی است که این روزها در حوزه کاری مراقبت پرواز به آن پرداخته می‌شود. فرود آمدن زدتر یا دیرتر از زمان مشخص شده هزینه‌ای را برای هر پرواز به همراه دارد و تکنیک‌های موجود، فاکتورهای زمانی را اندازه‌گیری نمی‌کنند در نتیجه هزینه‌ای را تأخیر بسیار بالا است و این در حالی است که تکنیک‌های فراوانی در جهت کاهش این جریمه وجود دارد بدین منظور در این مقاله مسئله فرود آمدن هواییما بررسی شده و سپس به کمک یکتابع بهینه‌سازی مدلی جهت افزایش کارایی ارائه شده است، به طور کلی مشکل توالی وظایف تعیین ترتیب اجرای آن‌ها را مانشین‌ها به منظور کاهش (یا افزایش) معیار موردنظر است. در مسئله‌ی بهینه‌سازی تعیین ترتیب عملیات ورود، هم در مقررات و هم در نشریات علمی موردتوجه است. در مراحل اولیه توالی ترافیک هوایی از مدیریت ورودی‌ها و ناوی بر مبنی بر وینگی به منظور گسترش افق‌های طراحی استفاده می‌شود و امکان بررسی ترافیک را در هردو حالت بلند شدن و نشستن هواییما امکان‌پذیر می‌کند. لذا در این مقاله بر توالی فرود هواییماها متمرکز است و این امر را با بررسی پارامترهایی مانند کاهش هزینه‌های اپرون و پارکینگ، به حداقل رساندن زمان‌های تأخیر و زودرسی و همچنین حداقل کردن هزینه‌های مصرف سوخت انجام می‌دهد. در نهایت در این مقاله قصد بر این است با استفاده از الگوریتم‌های نظری تایید شده و تطبیق آن‌ها با چالش‌های موجود در زمینه زمان‌بندی روشنی جدید جهت بهبود کیفیت برنامه‌های زمان‌بندی و کاهش زمان انجام آن به دست آورده در این راستا آزمایش‌های تجربی انجام گرفته روی مجموعه داده‌های فرودگاه بین‌المللی شهید هاشمی نژاد مشهد انجام گرفت و نتایج نشان داد که می‌توان با این روش بهتر به اهداف اصلی زمان‌بندی فرود هواییما دست یافته.

**کلمات کلیدی:** ترافیک هوایی، مدیریت جریان، NSGAII، MOGWO

## ۱- مقدمه

از دیدگاه سیستماتیک مدیریت جریان ترافیک هوایی مجموعه‌ای از تکنیکها و ابزارهای مدیریتی، تحلیلی و عملیاتی است که بهوسیله آن‌ها می‌توان جریان ترافیک را بهینه کرده و از ظرفیت سیستم پروازی موجود بهترین استفاده را به عمل آورد. افزایش تعداد پروازهای هوایی، یک چالش برای کنترل کنندگان ترافیک هوایی ایجاد کرده است. از این‌رو کنترل ترافیک هوایی باید به برنامه‌هایی بهتر برای فرود در زمان‌بندی هوایپیماها مجهز شود. مشکل زمان‌بندی در بسیاری از محدوده‌های علمی، صنعتی و اقتصادی وجود دارد(Bahamian & Zamani, 2010).

برنامه‌ریزی فرود هوایپیماهای ورودی به فرودگاه در صنعت هوانوری موردنموده زیادی قرارگرفته است. ترتیب فرود هوایپیماها در فرودگاه باید توسط مراقبت پرواز مشخص شود. برای اختصاص ترتیب فرود هوایپیماها، می‌توان به محدودیت‌های جداسازی دو هوایپیما اشاره نمود. در صورت رعایت نشدن این محدودیت، امکان بروز حادثه برای هوایپیماهای متواالی وجود دارد. کمینه کردن تأخیرها، مهم‌ترین نتیجه‌ی موردنظر در برنامه‌ریزی فرود هوایپیماها است که همچنین منجر به کاهش هزینه‌های سوخت اضافه برای هوایپیماها می‌شود. همچنین از نارضایتی مسافران جلوگیری می‌کند. ازانجایی که این هزینه‌ها درصد قابل توجهی از هزینه‌های شرکت‌های هوایپیما را تشکیل می‌دهند، لازم است که برنامه‌ریزی فرود هوایپیماها موردنموده شرکت‌های هوایپیما می‌خواهد قرار گیرد. برنامه‌ریزی مناسب فرود هوایپیماها، منجر می‌شود که ظرفیت عملیاتی فرودگاه بیشتر شده، شرکت‌های فرودگاهی بتوانند در بازه زمانی ثابت، پذیرای تعداد بیشتری از هوایپیماها باشند. همچنین می‌توان هوایپیماهای بیشتری را به جایگاه پارک اختصاص داد و از این طریق درآمد فرودگاه را افزایش دهد (Safarzadei Hosseni & Etemadzadeh, 2013).

کنترل توالی هوایپیماها به ورودی‌های مسافری، دو موضوعی است که باید موردنموده مدیریت فرودگاهها قرار بگیرد. به طوری که هم درآمد افزایش یابد و هم مسافران از عملکرد مدیریتی فرودگاهی راضی باشند. بنابراین هوایپیماها به محض فرود در فرودگاه باید به جایگاهی که برای پارک آن‌ها در نظر گرفته شده هدایت شوند، به طوری که آن جایگاه در لحظه‌ی فرود هوایپیما مذکور خالی و آماده‌ی سرویس‌دهی به هوایپیما است(Lahejaneyan & Mohamadi, 2019).

بنابراین زمان فرود هوایپیماها به جایگاه پارک اختصاصی به هوایپیما مؤثر است و یکی از مهم‌ترین مسائل در حوزه کاری مراقبت پرواز برنامه‌ریزی و توالی فرود هوایپیماهای ورودی است که هدف کمینه‌سازی تأخیر میان توالی فرود هوایپیماهای است. در تعیین ترتیب ورود پروازها انتخاب باند مناسب فرود (در فرودگاه‌هایی که چند باند برای فرود وجود دارد) برای کاهش تأخیر پروازی، فاصله زمانی فرود<sup>۱</sup> (LTI) را در نظر می‌گیرند که حداقل زمان جدایی قابل قبول برای دو پرواز ورودی پشت سر هم به یک باند پروازی را نیز شامل می‌شود. اساساً فاصله زمانی فرود هوایپیما یک کمیت تغییرپذیر است زیرا:

- برای حفظ اینی پروازها لازم است که دو پرواز دارای حداقل جدایی طولی بر اساس نوع هوایپیما و موقعیت واقعی آن‌ها باشند.

• سرعت و نوع<sup>۲</sup> هوایپیماهای در حال فرود متفاوت است.

• تسهیلات و تجهیزات هر باند پروازی، بر روی تعیین زمان LTI تأثیرگذار است(Xu, 2017).

مسئله زمان‌بندی فرود هوایپیما یا به اختصار<sup>۳</sup> ALP عبارت است از ایجاد صف بین هوایپیماهایی که برای نشستن به فرودگاه می‌آیند و اختصاص زمان نشستن به هر هوایپیما و اعمال ایجاد استاندارد بین پروازها با توجه به تعدد محدودیت‌های عملیاتی موجود. یک راه ساده برای برنامه‌ریزی و ایجاد صف بین پروازهای ورودی به یک فرودگاه تک بانده استفاده از روش FCFS<sup>۴</sup> می‌باشد که زمانی را به نشستن هوایپیما اختصاص می‌دهد. این زمان زودترین زمانی است که هر هوایپیما می‌تواند در آن زمان

<sup>1</sup> Landing Time Interval

<sup>2</sup> Type

<sup>3</sup> Aircraft landing problem

<sup>4</sup> First Come First Service

بنشیند اما تحقیقات نشان داده است که این زمان بمندرت می‌تواند بهترین جواب مسئله را در مورد ظرفیت باند یا حتی میانگین تأخیر پروازها ارائه دهد.

هدف از انجام تحقیق حاضر اختصاص زمان نشستن به یک پرواز با توجه به موقعیت پرواز در تعدادی از پروازهای ورودی به فرودگاه، با توجه به جدایی استاندارد لازم بین پروازها بر اساس نوع آن‌ها است. به طوری که زمان واقعی نشستن هوایپیما با زمان پیش‌بینی شده برای نشستن هوایپیما کمترین انحراف را داشته باشد. بدین ترتیب با استفاده از حداکثر ظرفیت باند و حداکثر استفاده از ظرفیت فرودگاه و می‌نیمم نمودن زمان تاخیرات بین پروازهای ورودی نقطه بهینه در مسئله زمان‌بندی فرود هوایپیما حاصل گردد. در این تحقیق تمرکز بر روی برنامه‌ریزی حالت استاتیک پروازهای ورودی می‌باشد. با توجه به تغییرات محیط عملیاتی و متغیر با زمان بودن این شرایط، حالت دینامیک مسئله به وجود می‌آید که لازم می‌شود تا تصمیم‌گیری‌ها به طور مدام مورد تجدیدنظر قرار گیرند که یافتن پاسخ بهینه مسئله به دلیل پیچیدگی این شرایط دشوار می‌نماید. کارشناسان خبره در مدیریت جریان ترافیک هوایی همواره به دنبال بالا بردن کارایی و بهره‌وری بوده‌اند.

برای افزایش ظرفیت فرودگاه‌ها دو راهکار اساسی پیش رو است که اولین راهکار ساخت فرودگاه جدید و گسترش باندها و تاکسی وی‌های پروازی، افزایش تجهیزات ناویبری و کمک ناویبری، تغییرات در راههای هوایی، استفاده از تجهیزات ماهواره‌ای پیشرفت‌هتر، تجهیز ناوگان هوایپیمایی که مستلزم صرف هزینه‌های بالا و صرف زمان طولانی جهت تحقیقات مربوط به سایت یابی فرودگاه بوده و اصولاً افق زمانی آن طولانی مدت است. دومین راهکار استفاده بهینه از ظرفیت و تجهیزات فرودگاه‌های موجود با بهینه‌سازی میزان ظرفیت باند و درنتیجه ظرفیت فرودگاه در راستا مدیریت جریان ترافیک هوایی است، که کنترلرهای ترافیک هوایی دو هدف مهم را دنبال می‌کنند، هدف اول حفظ اینمی پروازها و هدف دوم تسريع جریان ترافیک هوایی و کاهش تأخیر پروازی است. کاهش تأخیر پروازها جدا از شعار احترام به مشتری یک هدف مهم را در بی خواهد داشت و آن صرفه‌جویی اقتصادی است (Ng, Lee, Chan & Qin, 2017).

با توجه به آمار انجمن بین‌المللی فرودگاه‌ها مشخص شد که کل هوایپیمایی ورودی در یک منطقه رadar فرودگاهی به طور قابل توجهی بالا بوده و این امر نیاز به یک مدیریت قوی برای برنامه‌ریزی فرود این هوایپیمایی دارد. مسئله تصمیم‌گیری که کنترلرهای فرودگاهی بارها پیوسته با آن روبرو می‌شوند این است که هوایپیمایی که در نوبت فرود بعدی است کدام است و چه زمانی فرود می‌آید؟ در کاربردهای واقعی، عموماً پیدا کردن بهترین راه حل هدف اصلی نیست بلکه یافتن راه حل عملی برای مسئله فرود در زمان مناسب نیز می‌تواند کافی باشد. مشکل فرود هوایپیمایی کی از حوزه‌های مهم در عملیات ترافیک هوایی است، مدل سازی و حل این مسئله می‌تواند کمک شایان توجهی در مدیریت ترافیک هوایی باشد. مسئله زمان‌بندی فرود هوایپیمایی محدودیت‌های زیادی دارد از این‌روه عنوان یک مسئله NP-hard شناخته می‌شود. برای مثال، هوایپیما باید در یک بازه زمانی مشخص فرود بیاید و بهترین زمان بین هر جفت فرود باید بررسی شود. پیدا کردن جواب بهینه به دلیل ویژگی‌های مربوط به اندازه بزرگ و همچنین تعداد زیادی از محدودیت‌ها در مسئله زمان‌بندی فرود هوایپیما، بسیار مشکل است. یکی از عوامل کلیدی در تعیین جواب مسئله، حداقل فاصله جدایی موردنیاز بین هوایپیمایی هست تضمین اینمی پروازها در هنگام فرود است. بنابراین، حداقل فاصله میان فرود بر روی هوایپیمایی جلویی و عقبی و نیز توجه به نوع هوایپیمایی باید در راه حل ارائه شده برای مرتب‌سازی و زمان‌بندی هوایپیمایی گنجانده شود. بنابراین، این مشکل از دیدگاه محققین مختلف اهمیت زیادی دارد و تاکنون بیشتر مطالعات بر روی آن به منظور ارائه الگوریتم‌ها و مدل‌ها برای افزایش ظرفیت فرودگاه انجام شده است.

در این تحقیق ارائه الگوریتمی کارا و جدید در حل مسائل بهینه‌سازی برای حل مسئله توالی پروازها موجب کاهش هزینه‌های بیلیون دلاری شرکت‌های هوایپیمایی خواهد شد و در پژوهش حاضر به بررسی مدیریت جریان ترافیک هوایی با استفاده از

الگوریتم MOGWO و NSGAII می‌پردازیم

۲- روش‌شناسی پژوهش

در مقاله حاضر با استفاده از الگوریتم گرگ های خاکستری چندهدفه<sup>۵</sup> به حل مسئله زمان بندی فرود هواپیماها (ALP) پرداخته شده و نتایج حاصل با الگوریتم<sup>۶</sup> مقایسه گردد. همچنین تابع هدف اول مسئله با الگوریتم های فرا ابتکاری گرگ خاکستری<sup>۷</sup>، گرگ خاکستری بهبودیافته<sup>۸</sup> از دحام ذرات<sup>۹</sup> و کرم شبتاب<sup>۱۰</sup> مورد بررسی قرار گرفته و نتایج حاصل با یکدیگر مقایسه شده اند. برای این منظور پیش از ارائه روش پیشنهادی، شرایط حصول راه حل و همچنین الزامات و پارامترهای مسئله موردن بررسی قرار می گیرد.

الف) متغیرهای تصمیم گیری

$SLT_i$ : زمان فرود برنامه ریزی شده هواپیما<sup>۱۱</sup> که پس از ورود هواپیما به محدوده رادار محاسبه می شود.

$n$ : تعداد هواپیماهایی که باید برنامه ریزی شوند.

$ELTi$ : زمان انتظار (یا هدف) فرود هواپیما<sup>۱۲</sup> بر اساس اسلات زمانی تعیین شده که معمولاً در برنامه پرواز مشخص شده است.

$TELTi$ : نوع هواپیما<sup>۱۳</sup> در مقیاس اندازه گیری بر اساس سه نوع مختلف هواپیما کوچک، متوسط و بزرگ.

$\Delta_{ij}$ : حداقل فاصله زمانی بین هواپیما<sup>۱۴</sup> و<sup>۱۵</sup>، اگر فرود هواپیما<sup>۱۶</sup> قبل از هواپیما<sup>۱۷</sup> ز باشد.

$CAT_i$ : هزینه هواپیما بی در هر واحد زمان (به جز عامل سوخت) برای فرود پس از<sup>۱۸</sup>  $ELTi$  برای هواپیما<sup>۱۹</sup>.

$CBTi$ : هزینه هواپیما بی در هر واحد زمان (به جز عامل سوخت) برای فرود قبل از<sup>۲۰</sup>  $ELTi$  برای هواپیما<sup>۲۱</sup>.

$FCD_i$ : میانگین سوخت موردنیاز در هر دقیقه برای هواپیما<sup>۲۲</sup> برای فرود پس از<sup>۲۳</sup>  $ELTi$ .

$FCA_i$ : میانگین سوخت موردنیاز در هر دقیقه برای هواپیما<sup>۲۴</sup> برای فرود قبل از<sup>۲۵</sup>  $ELTi$ .

$Th$ : زمان لازم برای برنامه ریزی یک حلقه در زمان انتظار برای فرود.

$ea_i$ : زودرسی مجاز برای فرود قبل از<sup>۲۶</sup>  $ELTi$  برای هواپیما<sup>۲۷</sup> از لحظه ای که چرخ ها زمین را لمس می کنند تا رسیدن به محوطه پارکینگ (شامل عبور از جاده های هواپیما رو در فرودگاه<sup>۲۸</sup>).

$da_i$ : دیررسی مجاز برای فرود بعد از<sup>۲۹</sup>  $ELTi$  برای هواپیما<sup>۳۰</sup> از لحظه ای که چرخ ها زمین را لمس می کنند تا رسیدن به محوطه پارکینگ (شامل عبور از جاده های هواپیما رو در فرودگاه).

ب) توابع هدف

در مسئله چندهدفه تابع هدف ابتدا به صورت زیر بیان می شود:

توابع هدف شامل معیارهایی است که در مسئله زمان بندی هواپیماها به دنبال بهینه کردن آنها هستیم. این توابع هدف عبارت اند از:

- حداکثر کردن بازده باند فرودگاه: به جای حداکثر کردن تعداد هواپیماهایی که در باند فرود می آیند، می توان کل دفعات فرود را به طور مساوی کاهش داد. این همان بازده باند فرودگاه است.

$$\min \sum_{i=1}^n |SLT_i - ELT_i| \quad (1)$$

- کاهش هزینه های اپن و پارکینگ و سایر هزینه هایی که به دلیل ماندن اضافی هواپیما در فرودگاه با به حداقل رساندن تأخیر زمان و زود رسیدن مجاز به خطوط هوایی اعمال می شود.

$$\text{Minimize} \sum_{i=1}^n \{|SLT_i - ELT_i| - B\} A \quad (2)$$

<sup>5</sup> Multiple-objective Grey Wolf Optimization( MOGWO)

<sup>6</sup> Non-dominated Sorting Genetic Algorithm( NSGAII)

<sup>7</sup> GWO

<sup>8</sup> IGWO

<sup>9</sup> PSO

<sup>10</sup> FA

<sup>11</sup> taxiways

که در آن

$$A \begin{cases} CAT_i & , if \quad SLT_i > ELT_i \\ 0 & , if \quad SLT_i = ELT_i \\ CBT_i & , if \quad SLT_i < ELT_i \end{cases} \quad B \begin{cases} da_i & , if \quad SLT_i > ELT_i \\ 0 & , if \quad SLT_i = ELT_i \\ ea_i & , if \quad SLT_i < ELT_i \end{cases} \quad (3)$$

- به حداقل رساندن هزینه مصرف سوخت و به حداقل رساندن آبودگی دیاکسید کربن هوا: مصرف سوخت بستگی به عوامل مختلف از جمله تکنیک پرواز خلبان، ارتفاع، سرعت باد، مدل هواییما، وزن هواییما(شامل وزن و بار مسافر) و سوخت داخل مخازن بستگی دارد و درنتیجه، هزینه سوخت اضافی ناشی از دیررسی و صرفهجویی در هزینه سوخت به دلیل ورود زودهنگام باید موردنوجه قرار گیرد :

$$\text{Minimize} \sum_{i=1}^n \{|SLT_i - ELT_i|\} C \quad (4)$$

که در آن:

$$C \begin{cases} FCD & , if \quad SLT_i > ELT_i \\ 0 & , if \quad SLT_i = ELT_i \\ FCA & , if \quad SLT_i < ELT_i \end{cases} \quad (5)$$

در مسئله تک هدفه تابع هدف به صورت زیر تعیین می شود:

- هدف تخصیص دادن یک برنامه زمان بندی فرود برای هر هواییما است به طوری که تابع هدف این مسئله در مواجه با شرایط داده شده، کمینه شود. قیود این مسئله با توجه به زودترین زمان ممکن و دیرترین زمان ممکن برای فرود در نظر گرفته می شود. می توان به کمک بهینه سازی قدر مطلق میان زمان فرود پیش بینی شده با زمان از پیش تعیین شده و با در نظر گرفتن شرایط مذکور مسئله را حل نمود. با کمینه سازی این هدف با توجه به مقاله مختار موسوی، رهامی و کاوه (۲۰۱۵) نیز به هدف کمینه سازی زودرسی و دیررسی هواییماها دست خواهیم یافت. درنتیجه هزینه های اضافی مربوط به سوخت و غیر سوخت ( نظیر هزینه های پارکینگ )، ناشی از تأخیر یا زود فرود آمدن هواییماها کاهش می یابد. با توجه به توضیحات گفته شده، تابع هزینه را می توان به صورت زیر تعریف نمود:

$$\text{min} \sum_{i=1}^n |SLT_i - ELT_i| \quad (6)$$

- که در آن  $n$ ، تعداد هواییماهایی است که باید به کمک این تابع هزینه زمان بندی فرود آنها تعیین شود. محدودیت های عملیاتی مختلفی برای مسئله زمان بندی فرود هواییما وجود دارد. با نگاهی به دنیای واقعی به عملی ترین آنها برای استفاده در یک باند اشاره شده است. به طور کلی تمام زمان های فرود برنامه ریزی شده (SLT)، باید بر اساس محدودیت های زیر تعیین و محاسبه شود.
- محدودیت های استفاده از باند: هر باند تنها می تواند توسط یک هواییما در یک زمان مشخص استفاده شود، بنابراین هواییما ا قبل از هواییما  $j$  یا بر عکس فرود می آید:

$$X_{ij} + X_{ji} = 1, \forall i, j = 1, 2, \dots, n \quad (7)$$

- که در این رابطه اگر هواییما  $i$  قبل از  $j$  فرود آید،  $X_{ij} = 1$ ,  $X_{ji} = 0$  در غیر این صورت اگر هواییما  $j$  قبل از  $i$  فرود آید،  $X_{ij} = 0$ ,  $X_{ji} = 1$  خواهد شد.

- این شرط متضمن این است که تحت هیچ شرایطی به دو هواییما یک زمان فرود خاص اختصاص نخواهد یافت. در صورت بروز چنین مسئله ای برنامه دوباره دیگر برای فرود هواییماها محاسبه می کند تا زمانی که این شرط برقرار شود.
- حد تضمین حداقل رابطه جدایی: هواییما پشت سری را باید حداقل رابطه جدایی از هواییما جلویی خود داشته باشد تا از قرار گرفتن در اغتشاشات ایجاد شده در پشت سر هواییما جلویی (WT) اجتناب گردد.

$$(SLT_i - SLT_j) \geq \Delta_{ij} \quad (8)$$

که در آن  $i$  زمان فرود پیش‌بینی شده برای هوایپیمای  $i$  ام و  $j$  زمان فرود پیش‌بینی شده برای هوایپیمای  $j$  ام است. عبارت  $\Delta_{ij}$  نشان‌دهنده‌ی حداقل فاصله‌ی جدایی<sup>۱۲</sup> موردنیاز برای فرود اینمین بین هوایپیمای  $i$  و  $j$  است. برقراری این شرط، به اندازه و وزن هوایپیمای  $j$ ،  $i$  بستگی دارد.

#### (الف) محدودیت‌ها

انواع گوناگونی از محدودیت‌های عملیاتی برای ALP وجود دارد؛ با نگاهی به دنیای واقعی، عملی‌ترین آن‌ها برای استفاده در یک باند، در زیر آمده است. تمام زمانه‌ای فرود برنامه‌بازی شده (SLT) باید بر اساس محدودیت‌های زیر تعیین و محاسبه شود:

- محدودیت‌های استفاده از باند

$$X_{ij} + X_{ji} = 1 \quad \forall i, j = 1, 2, \dots, n \quad (8)$$

هر باند تنها می‌تواند توسط یک هوایپیما در یک زمان استفاده شود. بنابراین، هوایپیما  $i$  قبل از هوایپیمای  $j$  یا برعکس فرود می‌آید.

- حد تضمین حداقل فاصله جدایی

$$(SLT_i - SLT_j) \geq \Delta_{ij} \quad (9)$$

هوایپیما باید در فاصله‌ای امن از هوایپیماهای دیگر باشد تا از ایجاد آشوب و تلاطم در هوای جلوگیری شود.

#### (ب) ساختار زمان‌بندی

روش پیشنهادی تلاش دارد تا با استفاده از بهینه‌سازی با الگوریتم گرگ خاکستری چنددهفه زمان‌بندی بهینه را ارائه کند. زمان‌بندی توسط الگوریتم گرگ خاکستری نیاز به ساختاری برای ارائه زمان‌بندی دارد. این ساختار پایه تمامی محاسبات صورت گرفته در این الگوریتم است. از این‌رو پیش از هر چیز به ارائه این ساختار پرداخته می‌شود. جهت زمان‌بندی مجموعه‌ای حاوی  $n$  هوایپیما از آرایه‌ای با طول  $n$  استفاده می‌کنیم که محتوای هر سلول عددی خواهد بود که زمان فرود هوایپیما خواهد بود. در واقع مقدار داده قرارگرفته در سلول  $i$  نشان‌دهنده زمان  $SLT_i$  است که زمان فرود هوایپیمای  $i$  است. برای تشریح بهتر این موضوع فرض کنید مجموعه‌ای شامل  $10$  هوایپیما برای زمان‌بندی موجود باشد. یک زمان‌بندی این مجموعه داده همانند جدول شماره (۱) می‌تواند باشد.

| جدول شماره (۱): زمان‌بندی ۱۰ هوایپیما |       |       |       |       |       |       |       |       |       |
|---------------------------------------|-------|-------|-------|-------|-------|-------|-------|-------|-------|
| ۱                                     | ۲     | ۳     | ۴     | ۵     | ۶     | ۷     | ۸     | ۹     | ۱۰    |
| ۱۰:۴۵                                 | ۱۰:۳۱ | ۱۰:۳۱ | ۱۰:۳۷ | ۱۰:۴۰ | ۱۰:۳۴ | ۱۰:۳۰ | ۱۰:۱۸ | ۱۰:۳۴ | ۱۰:۳۱ |
| ۱۰:۱۲                                 | ۱۰:۵۰ | ۱۰:۳۱ | ۱۰:۳۷ | ۱۰:۴۰ | ۱۰:۳۱ | ۱۰:۳۰ | ۱۰:۱۸ | ۱۰:۳۴ | ۱۰:۳۱ |
| ۱۰:۳۱                                 | ۱۰:۴۵ | ۱۰:۳۱ | ۱۰:۳۷ | ۱۰:۴۰ | ۱۰:۳۱ | ۱۰:۳۰ | ۱۰:۱۸ | ۱۰:۳۴ | ۱۰:۳۱ |

بر اساس جدول شماره (۱)، مشاهده می‌شود که با این ساختار توان ایجاد زمان‌بندی‌های متفاوتی وجود دارد به‌طور مثال فرود هوایپیما شماره ۸ برای ساعت ۱۰:۳۱ زمان‌بندی شده است.

#### (ج) زمان‌بندی با الگوریتم گرگ خاکستری چنددهفه

درروش پیشنهادی از الگوریتم گرگ خاکستری چنددهفه به‌منظور زمان‌بندی استفاده می‌شود. جهت تبدیل الگوریتم گرگ خاکستری تک هدفه به چنددهفه یک جزو جدید به ساختار الگوریتم گرگ خاکستری اضافه می‌شود. این جزو شبیه به جزء کار گرفته شده در الگوریتم ازدحام ذرات چنددهفه است. این جزو یک آرشیو است که مسئول ذخیره جواب‌های نا مغلوب است. برای تشریح لزوم وجود این عنصر باید ذکر شود که در زمانی که بیش از یک هدف در مسئله مورد توجه است، ایجاد ترتیب برای اولویت‌بندی جواب‌های به دست آمده به سادگی امکان‌پذیر نیست. برای درک بهتر این مسئله فرض کنید دو هدف O1 و O2 برای مسئله‌ای مفروض باشد که در هر دو هدف مقدار کمتر بهتر است. حال چنانچه در این مسئله دو جواب S1 و S2 وجود داشته باشد و برای جواب S1 مقادیر اهداف برابر با ۱۰ و ۸ و برای جواب S2 مقادیر اهداف ۷ و ۱۱ باشد چگونه می‌توان تشخیص داد که کدام‌یک از این جواب‌ها نسبت به دیگری برتری دارد؟ زیرا در مورد هدف O1 جواب S2 نسبت به جواب S1

<sup>۱۲</sup> Minimum Separation

بهتر اما در مورد هدف O2 این جواب S1 است که نتیجه بهتری را نشان می‌دهد. از این‌رو در مسائل چندهدفه ممکن است در میان دو جواب هیچ‌یک نتواند دیگری را مغلوب نماید.

آرشیو یک مکان ذخیره و بازیابی جواب‌های نامغلوب است که تاکنون به‌دست‌آمده است. در طی فرآیند تکرار الگوریتم، یک جواب به‌دست‌آمده با اعضای فعلی آرشیو مقایسه می‌شود که یکی از سه حالت زیر اتفاق خواهد افتاد:

- عضو جدید توسط حداقل یکی از اعضای آرشیو مغلوب می‌شود. در این حالت جواب جدید اجازه اضافه شدن به آرشیو را نخواهد داشت.

- عضو جدید یک یا چند عضو از اعضای آرشیو را مغلوب می‌کند. در این حالت اعضای مغلوب شده از آرشیو حذف شده و عضو جدید وارد آرشیو می‌شود.

- اگر عضو جدید و اعضای آرشیو هیچ‌یک موفق نشوند دیگری را مغلوب کنند عضو جدید به آرشیو اضافه خواهد شد.

- چنانچه آرشیو پرشده باشد عضوی با کمترین فاصله از حذف می‌شود تا برای عضو جدید فضا باشد.

در تکرار اول، عدم امکان ایجاد ترتیب برای گرگ‌های خاکستری باعث می‌شود تا نتوان گرگ‌های الفا، بتا و دلتا را به‌راحتی تعیین کرد. از این‌رو برای تعیین این گرگ‌ها که نقش اساسی در معادلات به کار گرفته شده در الگوریتم گرگ خاکستری را دارند نیاز است تا این گرگ‌ها به تصادف از آرشیو انتخاب شوند. پیش از ارائه فلوچارت روش پیشنهادی با استفاده از الگوریتم گرگ خاکستری چندهدفه، لازم است تا بهبودهای در نظر گرفته شده به‌منظور افزایش کارایی روش گرگ خاکستری ارائه گردد.

#### (د) استراتژی انتخاب رهبر

در الگوریتم گرگ خاکستری چندهدفه به علت عدم امکان تعیین ترتیب میان گرگ‌ها انتخاب رهبر به‌صورت تصادفی انجام می‌شود. اما انجام این کار می‌تواند بر روند این الگوریتم تأثیر منفی بگذارد. در روش پیشنهادی به منظور ارتقاء عملکرد این فرآیند از تکنیکی مبتنی بر ترکیب گرید و چرخ رول استفاده می‌شود. در الگوریتم گرگ خاکستری سه جواب برتر به‌عنوان رهبر انتخاب می‌شوند که عبارت‌اند از گرگ الفا، بتا و دلتا. وظیفه رهبران هدایت دیگر جستجوگران به سمت منطقه ای است که امیدوارند تا بتوانند جواب‌هایی نزدیک به جواب بهینه را آنجا بیایند. با توجه به وجود آرشیو در فضای جستجوی چندهدفه انتخاب رهبر کار ساده‌ای نیست و اصولاً مکانیزم انتخاب رهبر برای این موضوع توسعه یافته است. در روش پیشنهادی ابتدا آرشیو گرید بندی می‌شود، بدین معنا که آرشیو در هر بعد از اهداف به بخش‌های نامغلوب می‌باشد. پس از آن، نوبت به انتخاب رهبر با استفاده از چرخ رولت از این‌رو هر بخش حاوی تعداد خاصی از جواب‌های نامغلوب می‌باشد. این روش به انتخاب رهبر با استفاده از چرخ رولت است. مکانیزم انتخاب رهبر از میان بخش‌هایی با کمترین ازدحام در آرشیو یکی از جواب‌های نامغلوب را به‌عنوان گرگ الفا، بتا و دلتا انتخاب می‌کند. انتخاب به وسیله چرخ رولت با احتمال زیر خواهد بود:

$$P_i = \frac{C}{N_i} \quad (10)$$

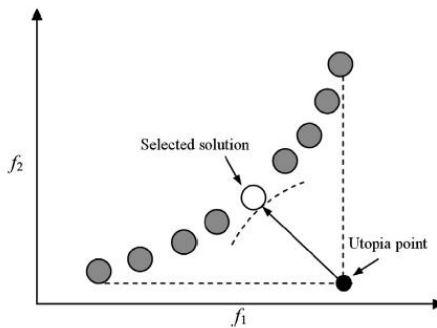
در این معادله  $C$  یک مقدار ثابت بزرگ‌تر از یک است و  $N$  تعداد جواب‌های نامغلوب در قسمت ۱ است. در این معادله مشخص است که بخش‌هایی با ازدحام کمتر، شанс انتخاب رهبر بالاتری را دارند. بدین ترتیب حتی مکان‌های با ازدحام کمتر نیز مورد جستجو قرار می‌گیرند تا به همه‌ی اعضا شанс مساوی برای انتخاب شدن به‌عنوان رهبر داده شود. لازم به ذکر است که در زمان تعیین رهبر بایستی توجه شود که هیچ‌یک از دو رهبر الفا، بتا و دلتا یکسان نباشند. بنابراین به‌عنوان مثال وقتی آلفا تعیین شد، موقتاً از آرشیو کنار گذاشته می‌شود تا دوباره انتخاب نگردد. با استفاده از این تکنیک درواقع تلاش می‌شود تا گرگ‌ها به سمتی بروند که کمتر مورد جستجو قرار گرفته است از این‌رو می‌توان امیدوار بود که فضای جستجو به خوبی مورد بررسی قرار بگیرد و همگرایی حاصل شود.

##### ۵) نحوه حذف از آرشیو پر

زمانی که آرشیو پر می شود، به دلیل پر شدن حافظه، باید برخی از اعضای آرشیو حذف شوند این عمل توسط عملگر دریچه انجام می شود. جزء دریچه وظیفه دارد تا آرشیو جواب ها را تا حد ممکن همگرا نگه دارد و فضای کافی برای جواب های جدید ایجاد کند. در این روش از فضای هدف که توسط گردید به چندین منطقه تقسیم شده است، منطقه ای با بیشترین ازدحام جوابها انتخاب شده و یکی از جوابها به تصادف انتخاب شده و حذف می شود تا برای جواب جدید فضای لازم باز شود.

##### ۶) انتخاب بهترین جواب از آرشیو

همانطور که در بخش قبل بیان شد، خروجی نهایی الگوریتم گرگ خاکستری مجموعه ای از جواب است. هر جواب نیز دارای میزان برآزندگی است که توسط دیگر جوابها مغلوب نشده است از این رو نمیتوان به سادگی تنها یک جواب را به عنوان جواب نهایی از آرشیو انتخاب کرد. در این روش فاصله هر یک از جواب های داخل آرشیو با نقطه ایده آل محاسبه می شود و نزدیکترین نقطه به نقطه ایده آل به عنوان جواب برگردانده می شود. این تکنیک با نام UtopiaPoint شناخته می شود.



شکل شماره (۱): نحوه تعیین نقطه بهینه و بهترین جواب از آرشیو

در ادامه الگوریتم روش پیشنهادی که مبتنی بر الگوریتم گرگ خاکستری چنددهفه است قابل مشاهده است. در این الگوریتم لیستی از پروازهایی که قرار است زمان بندی شود به عنوان ورودی به سیستم وارد می شود و سپس خروجی سیستم زمان بندی انجام شده است:

#### ۱. شروع

۲. اطلاعات پروازهایی که قرار است زمان بندی شود را دریافت کن  $\leftarrow$  Flights Current

۳. جمعیت گرگ های خاکستری را با مقادیر مختلف SLT با توجه به Flights Current مقدار دهی اولیه کن به نحوی که محدودیت ها را رعایت کند.

۴. مقادیر A, a و C را مقدار دهی اولیه کن.

۵. مقادیر هدف را برای هر یک از عامل های جستجو تعیین کن.

۶. جواب های نامغلوب را پیدا کن و در آرشیو قرار بده.

۷.  $X_\alpha$  را با استفاده از استراتژی انتخاب رهبر از آرشیو انتخاب کن.

۸.  $X_\alpha$  را به صورت موقت از آرشیو ببرو کن تا از انتخاب رهبر مشابه با  $X_\alpha$  اجتناب شود.

۹.  $X_\beta$  را با استفاده از استراتژی انتخاب رهبر از آرشیو انتخاب کن.

۱۰.  $X_\beta$  را به صورت موقت از آرشیو ببرو کن تا از انتخاب رهبر مشابه با  $X_\beta$  اجتناب شود.

۱۱.  $X_\delta$  را با استفاده از استراتژی انتخاب رهبر از آرشیو انتخاب کن.

۱۲.  $X_\beta$ ,  $X_\alpha$  و  $X_\delta$  را به آرشیو برگردان.

$$t = 1.13$$

۱۳. تا زمانی که t کمتر از حداقل تکرار است مراحل زیر را انجام بدی:

۱۴.۱. به ازای هر عامل جستجو

- ۱۴.۱.۱. عامل جستجو را به روز کن.
- ۱۴.۱.۲. اگر SLT جدید محدودیت ها را رعایت می کند گرگ جدید را جایگزین کن.
- ۱۴.۲. مقادیر A, a, C و C را بروز کن.
- ۱۴.۳. مقادیر هدف را برای هر یک از عامل های جستجو تعیین کن.
- ۱۴.۴. جواب های نامغلوب را پیدا کن
- ۱۴.۵. آرشیو را با توجه به جواب های نامغلوب به دست آمده بروز رسانی کن.
- ۱۴.۶. اگر آرشیو پرشده است:
- ۱۴.۶.۱. مکانیزم بخش بندی را اجرا کن و یکی از اعضای فعلی آرشیو را حذف کن.
- ۱۴.۶.۲. جواب جدید را به آرشیو اضافه کن.
- ۱۴.۷.  $X_\alpha$  را با استفاده از استراتژی انتخاب رهبر از آرشیو انتخاب کن.
- ۱۴.۸.  $X_\alpha$  را به صورت موقت از آرشیو بپرسی کن تا از انتخاب رهبر مشابه با  $X_\alpha$  اجتناب شود.
- ۱۴.۹.  $X_\beta$  را با استفاده از استراتژی انتخاب رهبر از آرشیو انتخاب کن.
- ۱۴.۱۰.  $X_\beta$  را به صورت موقت از آرشیو بپرسی کن تا از انتخاب رهبر مشابه با  $X_\beta$  اجتناب شود.
- ۱۴.۱۱.  $X_\delta$  را با استفاده از استراتژی انتخاب رهبر از آرشیو انتخاب کن.
- ۱۴.۱۲.  $X_\alpha, X_\beta, X_\delta$  را به آرشیو برگردان.
- ۱۴.۱۳.  $t = t+1$
۱۵. جواب نهایی را با استفاده از تکنیک UtopiaPoint از آرشیو برگردان.

ز) زمان بندی با الگوریتم گرگ خاکستری بهبودیافته

درروش پیشنهادی از الگوریتم فرا ابتکاری گرگ خاکستری بهبودیافته<sup>۱۳</sup> به منظور زمان بندی استفاده می شود. الگوریتم (GWO<sup>۱۴</sup>) یک الگوریتم فرا ابتکاری است که از ساختار سلسله مراتبی و رفتار اجتماعی گرگ ها در هنگام شکار الهام گرفته است. این الگوریتم مبتنی بر جمعیت بوده، فرایند تنظیمات ساده ای داشته و به سادگی قابلیت تعمیم به مسائل با ابعاد بزرگ را دارد. الگوریتم گرگ خاکستری توسط میر جلیل و همکاران (۲۰۱۴) ارائه شد. با توجه به نتایج بدست آمده در این الگوریتم توانایی استخراج بیشتری در مقابل با الگوریتم های تکامل تفاضلی (DE<sup>۱۵</sup>) بهینه سازی توده ذرات (PSO<sup>۱۶</sup>) از خود نشان داده است، همچنین توانایی فرار از بهینه محلی بیشتری دارد و در هر دو مسئله مقید و نامقید عملکرد بالایی داشته است. بنابراین در این تحقیق این الگوریتم مورد توجه قرار گرفته است. در این مقاله ساختار سلسله مراتبی و رفتار اجتماعی گرگ ها در حین فرایند شکار به صورت ریاضی مدل شده و برای طراحی الگوریتمی برای بهینه سازی مورد استفاده قرار گرفته است.

(الف) مدل سازی ساختار سلسله مراتبی (هرم قدرت)

بهینه سازی با استفاده از گرگ های آلفا، بتا و دلتا انجام می شود. یک گرگ به عنوان آلفا هدایت کننده اصلی الگوریتم فرض می شود و یک گرگ بتا و دلتا نیز مشارکت دارند و بقیه گرگ ها به عنوان دنبال کننده آنها محسوب می شوند.

(ب) مدل سازی فرایند احاطه کردن شکار

دو رابطه مدل کننده:

$$D = |C X_p(t) - X(t)|, C = c_1 r_2, \quad (11)$$

$$X(t+1) = X_p(t) - A D, A = 2\alpha(t) r_1 - \alpha(t), \quad (12)$$

<sup>13</sup> Improve Grey Wolf Optimization

<sup>14</sup> Gray wolf algorithm

<sup>15</sup> Differential algorithm

<sup>16</sup> Particle swarm optimization

که در آن  $C$ ,  $A$ ,  $X_p$  بردارهای ضرایب،  $X$  بردار موقعیت مکانی شکار و  $t$  شماره تکرار است. که در آن مؤلفه های  $a$  به صورت خطی و در طی تکرارهای متوالی از ۲ تا صفر کاهش می باشد و  $r_1$  و  $r_2$  بردارهای تصادفی در بازه  $[0,1]$  هستند.

### ج) مدل سازی فرایند شکار

گرگ های خاکستری توانایی تخمین موقعیت شکار را دارند. برای مدل سازی ریاضی این فرایند به ترتیب زیر عمل می شود: در جستجوی اولیه هیچ ایده ای در مورد موقعیت شکار وجود ندارد. فرض می شود گرگ های آلفا، بتا و دلتا داشت اول بهتری در خصوص موقعیت شکار (نقطه بهینه جواب)، دارند. موقعیت این سه کاندیدای جواب به صورت زیر تعیین می شود:

$$D_\alpha = |C_1 X_\alpha(t) - X(t)|, X_1 = X_\alpha - A_1 D_\alpha; \quad (13)$$

$$D_\beta = |C_2 X_\beta(t) - X(t)|, X_2 = X_\beta - A_2 D_\beta; \quad (14)$$

$$D_\delta = |C_3 X_\delta(t) - X(t)|, X_3 = X_\delta - A_3 D_\delta \quad (15)$$

$$X(t+1) = \frac{X_1 + X_2 + X_3}{3} \quad (16)$$

یک الگوریتم گرگ خاکستری اصلاح یافته به منظور آستانه گذاری چند سطحی ارائه شده است که در آن موقعیت جدید گرگ ها در معادله (۱۷-۳) به کمک ضرایب وزنی به صورت معادله (۱۸) محاسبه می شود:

$$\vec{X}(t+1) = w_1 \cdot \vec{X}_1 + w_2 \cdot \vec{X}_2 + w_3 \cdot \vec{X}_3, \quad (17)$$

که  $w_1, w_2, w_3$  وزن های مربوطه می باشند که به وسیله معادلات زیر محاسبه می شوند:

$$w_1 = \frac{f_1}{F}, w_2 = \frac{f_2}{F}, w_3 = \frac{f_3}{F}, \quad (18)$$

که  $f_1, f_2, f_3$  نشان دهنده مقدار تابع هدف مسئله می باشند و  $F=f_1+f_2+f_3$  است. در این تحقیق اصلاح اصلی GWO اعمال ضرایب وزنی (۱۷) به معادله بروزسانی عوامل جستجو است. با توجه به اینکه برای هر گرگ تابع برازنده متفاوتی به دست می آید، قرار دادن وزن به صورت معادله (۱۷) منجر به افزایش دقت الگوریتم خواهد شد.

به منظور بهبود در جستجوی سراسری و محلی الگوریتم یک سری جستجوهای تصادفی حول موقعیت به دست آمده از هر سه گرگ آلفا و بتا و دلتا با توجه به معادله (۱۸) انجام می شود. به این صورت که یک عدد تصادفی در نظر گرفته می شود اگر این عدد بزرگ تر از  $4/0$  باشد معادله (۱۸) اجرا می شود و اگر این عدد بین  $1/0$  تا  $4/0$  باشد معادله زیر اجرا می شود:

$$\vec{X}(t+1) = w_1 \cdot \vec{X}_1 + w_2 \cdot \vec{X}_2 + w_3 \cdot \vec{X}_3 + (2 \text{randi}(5) - 5). \quad (19)$$

در معادله (۱۸) یک عدد تصادفی صحیح از یک الی ۵ به کمک دستور Randi محاسبه می شود. درنتیجه در پرانتز یک عدد بین ۳- و ۵ خواهیم داشت. در غیر این صورت اگر کوچک تر از  $0.1$  باشد، معادله (۱۹) اجرا می شود.

$$\vec{X}(t+1) = w_1 \cdot \vec{X}_1 + w_2 \cdot \vec{X}_2 + w_3 \cdot \vec{X}_3 + (a) \text{randn}(1, nVar), \quad (20)$$

که randn یک عبارت تصادفی با موقعیت جدید جمع شده و با ضریب  $a$  جستجوی الگوریتم کنترل می شود. در حالی که  $a$  بزرگ است تمرکز بر روی جستجوی سراسری است و در حالی که  $a$  کوچک است تمرکز بر روی جستجوی محلی انجام می شود. در ادامه عملکرد این الگوریتم در مسئله مدیریت جریان ترافیک هوایی مورد بررسی قرار می گیرد.

### ۳- نتایج و بحث

آزمایش ها در محیطی با شرایط ذکر شده در جدول شماره (۲) انجام شده است.

جدول شماره (۲): مشخصات سیستم آزمایش

| مشخصات                       | سخت افزار/نرم افزار |
|------------------------------|---------------------|
| دو هسته ای                   | پردازنده            |
| 4.0 GB                       | حافظه اصلی          |
| 320 GB                       | هارد دیسک           |
| Microsoft Windows 7 Ultimate | سیستم عامل          |

Matlab R2016b

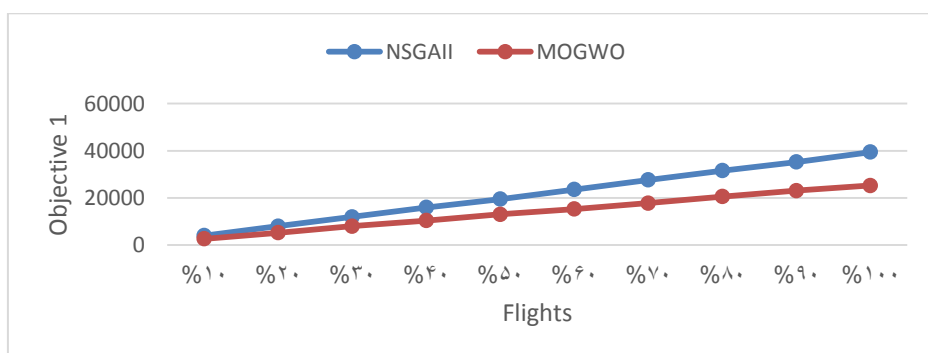
زبان برنامهنویسی

برای اجرای روش‌های مورد مقایسه نیاز است تا برخی پارامترهای اولیه تعیین شود. در جدول زیر پارامترهای موردادستفاده در ارزیابی‌ها برای روش‌های چنددهفه ارائه شده است.

جدول شماره(۳): مقداردهی اولیه پارامترهای روش‌های مورد مقایسه

| روش                 | پارامتر | NSGAII | MOGWO |
|---------------------|---------|--------|-------|
| اندازه جمعیت        |         | ۱۰     | ۱۰    |
| تعداد نسل           |         | ۱۰     | ۱۰    |
| نرخ برش             |         | ۰/۴    | -     |
| نرخ جهش             |         | ۰/۰۴   | -     |
| نرخ نخبه کشی        |         | ۰/۳    | -     |
| تعداد بخش‌بندی گرید |         | -      | ۱۰    |
| اندازه آرشیو        |         | -      | ۲۰    |

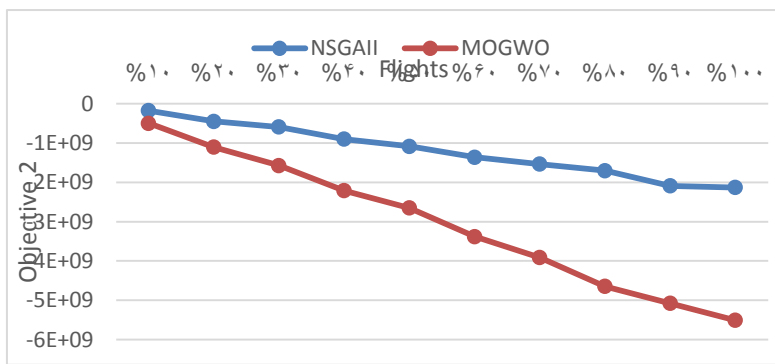
برای انجام آزمایش‌ها از مجموعه داده جمع‌آوری شده در پروازهای فرودگاه شهید هاشمی نژاد مشهد استفاده شده است. درواقع انجام آزمایش‌ها بر روی مجموعه داده‌های واقعی بوده است. این مجموعه داده که پروازهای بازه زمانی ۲۰۱۸/۵/۳ تا ۲۰۱۸/۷/۳ را شامل می‌شود، حاوی ویژگی‌هایی است که شامل تاریخ پرواز، شناسه هواپیما، مبدأ، مقصد، نوع هواپیما، ارتفاع پرواز، اندازه هواپیما، مسیر پرواز، ساعت فرود برنامه‌ریزی شده، سرعت پرواز و غیره است. این مجموعه داده درنهایت شامل ۴۳۶۸ پرواز است. در این بخش به ارائه نتایج حاصل از مدل تحقیق در راستا دستیابی به اهداف می‌پردازیم. در ابتدا ارزیابی‌ها بر روی سه تابع هدف انجام شده است. برای انجام ارزیابی‌ها ابتدا ۱۰٪ داده‌ها در نظر گرفته شده است و به ازای این مقدار از داده‌ها هر دو روش NSGAII ، MOGWO انجام شده است. پس از ثبت نتایج حاصل از ارزیابی هر روش، ۲۰٪ از مجموعه داده‌ها برای ارزیابی در نظر گرفته شده و این بار هر دو روش به ازای این مقدار از داده‌ها انجام شده است و نتایج ثبت شده است. این روند تا زمانی که ۱۰۰٪ مجموعه داده مورد ارزیابی قرار بگیرد ادامه یافته است. همان‌طور که پیش از این بیان شد، در هر سه تابع هدف، هدف حداقل کردن است از این‌رو در نتایجی که در ادامه ارائه شده است رویکردی که منجر به ارائه مقادیر کمتری شده است، روند بهتری را طی کرده است. نتایج حاصل از اجرای روش‌های مورد مقایسه در مورد معیار هدف ۱ در شکل شماره (۲)، قابل مشاهده است.



شکل شماره (۲): مقایسه روش‌های MOGWO و NSGAII بر روی هدف ۱

نتایج ارائه شده در شکل شماره (۲)، در راستا بررسی هدف شماره ۱ است، نشان‌دهنده میزان اختلاف میان زمان فرود برنامه‌ریزی شده و زمان فرود پیش‌بینی شده را نشان می‌دهد. واضح است که انتظار می‌رود زمان فرود برنامه‌ریزی شده و فرود

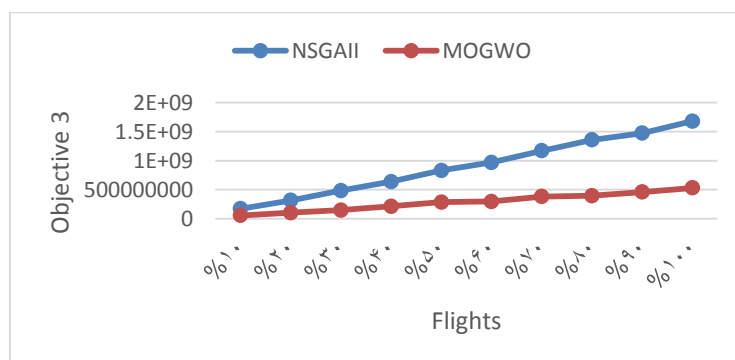
پیش‌بینی شده به یکدیگر نزدیک باشند و هر چه این اختلاف کمتر باشد روش پیشنهادی عملکرد بهتری ارائه داده است. نتایج شکل شماره (۲)، نشان از برتری روش پیشنهادی در تمامی بخش‌بندی انجام‌شده بر روی مجموعه داده را دارد، که با افزایش اندازه مجموعه داده، مجموع اختلاف نیز افزایش یافته که کاملاً طبیعی است. علاوه بر این با بزرگ شدن مجموعه داده اختلاف میان روش پیشنهادی و روش مورد مقایسه نیز بیشتر شده و عملکرد روش پیشنهادی به مراتب از روش مورد مقایسه بهتر بوده است. هدف شماره ۲ پس از محاسبات در شکل شماره (۳)، جهت مقایسه عملکرد روش پیشنهادی و روش NSGAII قابل مشاهده است.



شکل شماره(۳): مقایسه روش‌های NSGAII و MOGWO بر روی هدف ۲

همانند شکل شماره (۲) در شکل شماره (۳) نیز عملکرد روش پیشنهادی به مراتب نسبت به روش پایه بهتر است. بهنحوی که در مجموعه داده با ۱۰٪ اندازه، روش MOGWO نسبت به روش NSGAII بهبود عملکرد دارد. علاوه بر این با افزایش اندازه مجموعه داده این برتری ادامه پیدا می‌کند بهنحوی که در آزمایش‌ها صورت گرفته بر روی ۱۰۰٪ مجموعه داده، روش پیشنهادی نسبت به روش پایه برتری دارد.

در هدف شماره ۳، مقایسه عملکرد میان دو روش NSGAII و MOGWO مورد بررسی قرار گرفته است. این نتایج در شکل شماره(۴)، قابل مشاهده است.



شکل شماره(۴): مقایسه روش‌های NSGAII و MOGWO بر روی هدف ۳

همانند اهداف ۱ و ۲ در هدف ۳ نیز برتری روش پیشنهادی را می‌توان به ازای تمامی بازه‌های مورد ارزیابی مشاهده کرد. در این هدف نیز روش پیشنهادی بهتر از روش پایه عمل می‌کند که بیشترین اختلاف به ازای مجموعه داده با ۱۰۰٪ اندازه و کمترین اختلاف نیز برای مجموعه داده با ۱۰٪ است. برای انجام آزمایش‌ها از مجموعه داده جمع‌آوری شده در پروازهای فرودگاه شهید هاشمی نژاد مشهد استفاده شده است. آزمایش‌ها بر روی مجموعه داده‌های واقعی مربوط به پروازهای زمانی ۲۰۱۸/۵/۳ الی ۲۰۱۸/۷/۳ را شامل می‌شود. این مجموعه داده‌ها شامل تاریخ پرواز، شناسه هواپیما، مبدأ، مقصد، نوع هواپیما، ارتفاع پرواز، اندازه هواپیما، مسیر پرواز، ساعت فرود برنامه‌ریزی شده، سرعت پرواز و غیره است. اندازه‌ی این داده‌ها برابر با ۴۳۶۸ است. از این مجموعه داده‌ها، داده‌های شامل تاریخ پرواز، نوع هواپیما، سرعت هواپیما ساعت فرود برنامه‌ریزی شده موردنیاز است که در مسئله زمان‌بندی فرود هواپیما استفاده می‌شود.

برای آماده‌سازی داده‌ها پیش از اعمال الگوریتم، داده‌ها ساعت پرواز و فرود در جدول زمانی از پیش تعیین شده است که این زمان به دقیقه تبدیل شد و سپس در هر حلقه از ارزیابی پروازها، پروازها از زمان شروع الی ۱۲۰ دقیقه بعد در یک دسته و دسته‌بندی پروازها تا اتمام زمان نهایی انجام می‌شود. در هر دسته شماره اندیس هر پرواز ذخیره می‌شود و هر حلقه شامل تعداد کل دسته‌ها برای هر دسته از پروازها که هر حلقه بهترین تابع هزینه یافته شده مربوط به هر دسته ذخیره شده و درنهایت مجموع این مقادیر به عنوان بهترین تابع هزینه نهایی محاسبه می‌شود و قیود آن شامل زمان زود رسیدن و زمان تأخیر مجاز نیز لحاظ شود. اگر این زمان‌ها برقرار نشود، جزو راه حل‌های مسئله قرار نمی‌گیرد. قید دیگر بررسی نوع هواپیما است که باید لحاظ شود. وابسته به نوع هواپیما باید فاصله زمانی میان فرود هواپیمای بعدی با هواپیمای فعلی در نظر گرفته می‌شود. اگر هواپیما از نوع سنگین یا متوسط باشد، باید وقت کافی برای فرود هواپیمای بعدی برقرار باشد، اگر این زمان برقرار نباشد راه حل یافته شده به عنوان جواب در نظر گرفته نمی‌شود. بنابراین جواب‌هایی به دست می‌آیند که در قیود مسئله برقرار باشند. درنهایت تابع هزینه کلی برای تمام دسته‌ها به دست آمده و جواب نهایی توسط هر الگوریتم ذخیره می‌شود.

ارزیابی‌ها به کمک الگوریتم گرگ خاکستری بهمودیافته بر روی تابع هزینه (۱) انجام شد و برای انجام ارزیابی‌ها ابتدا ۱۰٪ داده‌ها در نظر گرفته شد و به ازای این مقدار از داده‌ها نتایج به روش‌های گرگ خاکستری بهمودیافته (IGWO)، گرگ خاکستری معمولی (GWO)، ازدحام ذرات (PSO) و روش کرم شب تاب<sup>(۱۷)</sup>، به دست آمد و پس از ثبت نتایج حاصل از ارزیابی هر روش، ۲۰٪ از مجموعه داده‌ها برای ارزیابی در نظر گرفته شده و این بار هر چهار روش به ازای این مقدار از داده‌ها بررسی شده و نتایج ثبت شده است. این روند تا زمانی که در قیود ادامه پیدا کرد که در جدول شماره (۴)، پارامترهای تنظیم شده مربوط به الگوریتم‌های بهینه‌سازی قابل مشاهده است.

جدول شماره (۴): پارامترهای تنظیم شده برای الگوریتم‌های بهینه‌سازی

| الگوریتم               | تعداد تکرار بیشینه | تعداد جمعیت | پارامترهای اختصاصی   |
|------------------------|--------------------|-------------|--|
| کرم شب تاب             | ۱۰                 | ۱۰          | $\gamma=1, \beta_0=2, \alpha=0.2, \alpha_{damp}=0.99, \delta=1.5, m=2$ |
| بهینه‌سازی توده ذرات   | ۱۰                 | ۱۰          | $w_{max}=0.9, w_{min}=0.3138, c_1=2, c_2=2$                            |
| گرگ خاکستری            | ۱۰                 | ۱۰          | $a_{max}=2, a_{min}=0$   |
| گرگ خاکستری بهمودیافته | ۱۰                 | ۱۰          | $a_{max}=1.5, a_{min}=0.5$   |

با توجه به پارامترهای تنظیم شده در جدول شماره (۴)، تمام الگوریتم‌ها ۲۰ بار اجرا شده و نتایج مربوط به میانگین، بهترین، بدترین و انحراف معیار تابع هزینه بررسی و ذخیره شد و نتایج مقایسه‌ای الگوریتم‌ها به ازای داده‌های مختلف در جدول شماره (۵) و شکل شماره (۴) نشان داده شده است.

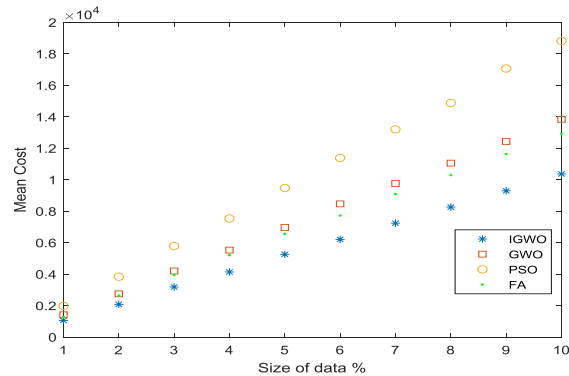
جدول شماره (۵): نتایج مقایسه‌ای مقدار تابع هزینه بدست آمده با الگوریتم‌های IGWO, GWO, PSO, FA

| الگوریتم | % ۵۰    | % ۴۰    | % ۳۰  | % ۲۰  | % ۱۰  |
|----------|---------|---------|-------|-------|-------|
| IGWO     | ۴۹۷۹    | ۴۰۷۴    | ۳۱۳۷  | ۲۰۰۷  | ۱۰۰۲  |
|          | ۵۱۴۱    | ۴۱۴۳    | ۳۱۸۸  | ۲۰۸۵  | ۱۰۶۱  |
|          | ۵۲۵۵    | ۴۲۳۸    | ۳۲۶۰  | ۲۱۴۲  | ۱۰۸۵  |
| GWO      | ۷۹/۴۱۱۷ | ۵۵/۸۴۱۶ | ۴۵/۱۶ | ۴۱/۲۴ | ۳۶/۴۷ |
|          | ۶۸۷۳    | ۵۲۵۹    | ۴۱۲۷  | ۲۷۰۶  | ۱۴۱۵  |
|          | ۶۹۶۸    | ۵۵۳۱    | ۴۲۰۳  | ۲۷۵۴  | ۱۴۲۲  |
| PSO      | ۷۰۸۴    | ۵۷۲۳    | ۴۳۰۰  | ۲۸۰۷  | ۱۴۵۱  |
|          | ۱۰۱/۴۶  | ۱۹۷/۹۱  | ۶۸/۸۴ | ۵۷/۴۷ | ۴۶/۴۸ |
|          | ۹۳۲۰    | ۷۳۸۲    | ۵۸۰۲  | ۳۷۴۸  | ۱۸۷۳  |

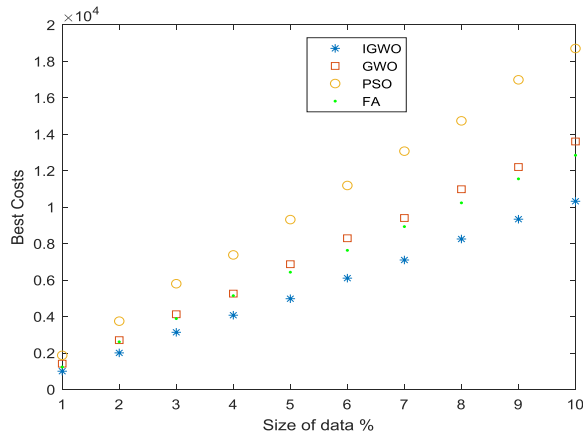
<sup>۱۷</sup> Firefly algorithm

|        |        |         |        |        |             |      |
|--------|--------|---------|--------|--------|-------------|------|
| ۹۴۷۶   | ۷۵۴۰   | ۵۷۹۱    | ۳۸۳۹   | ۱۹۸۵   | میانگین     |      |
| ۹۶۹۰   | ۷۶۷۲   | ۵۸۹۲    | ۳۹۳۱   | ۲۱۰۱   | بدترین      |      |
| ۱۶۲/۳۶ | ۱۰۸/۸۳ | ۱۳۹/۹۳۵ | ۶۹/۱۸  | ۹۱/۰۶۲ | انحراف میار |      |
| ۶۴۳۴   | ۵۱۴۶   | ۳۸۸۷    | ۲۶۱۴   | ۱۲۲۳   | بهترین      | FA   |
| ۶۵۶۲   | ۵۲۱۲   | ۳۹۴۸    | ۲۶۴۵   | ۱۲۸۷   | میانگین     |      |
| ۶۶۷۹   | ۵۳۱۲   | ۳۹۹۴    | ۲۶۸۱   | ۱۳۱۳   | بدترین      |      |
| ۹۶/۶۵  | ۷۳/۵۴  | ۴۸/۹۲۶  | ۴۳/۱۳  | ۳۷/۰۱۶ | انحراف میار |      |
| <hr/>  |        |         |        |        |             |      |
| % ۱۰۰  | % ۹۰   | % ۸۰    | % ۷۰   | % ۶۰   | الگوریتم    |      |
| ۱۰۳۲۵  | ۹۳۴۲   | ۸۲۵۵    | ۷۱۰۳   | ۶۱۰۷   | بهترین      | IGWO |
| ۱۰۳۷۲  | ۹۳۹۰   | ۸۲۶۵    | ۷۲۴۰   | ۶۲۱۱   | میانگین     |      |
| ۱۰۴۱۲  | ۹۴۹۰   | ۸۳۰۱    | ۷۴۰۱   | ۶۳۴۵   | بدترین      |      |
| ۳۶/۴۶  | ۵۰/۴۲  | ۴۲/۰۵۱  | ۸۹/۸۶  | ۱۱۲/۰۵ | انحراف میار |      |
| ۱۳۶۰۶  | ۱۲۲۰۴  | ۱۰۹۸۶   | ۹۴۰۷   | ۸۲۹۷   | بهترین      | GWO  |
| ۱۳۸۱۳  | ۱۲۴۲۷  | ۱۱۰۵۸   | ۹۷۰۷   | ۸۴۷۰   | میانگین     |      |
| ۱۳۹۶۴  | ۱۲۶۶۱  | ۱۱۱۷۰   | ۹۹۰۲   | ۸۶۱۷   | بدترین      |      |
| ۱۴۵/۲۱ | ۱۸۸/۸۱ | ۷۵/۰۰۱۳ | ۱۳۳/۱۵ | ۱۳۲/۲۳ | انحراف میار |      |
| ۱۸۷۰۸  | ۱۶۹۸۶  | ۱۴۷۲۷   | ۱۳۰۷۵  | ۱۱۱۹۱  | بهترین      | PSO  |
| ۱۸۸۲۴  | ۱۷۰۶۸  | ۱۴۸۸۱   | ۱۳۲۰۳  | ۱۱۳۶۶  | میانگین     |      |
| ۱۹۰۳۱  | ۱۷۲۵۱  | ۱۵۰۷۸   | ۱۳۴۴۴  | ۱۱۴۲۹  | بدترین      |      |
| ۲۰۴/۷۶ | ۱۰۶/۹۸ | ۱۳۲/۴۶  | ۱۵۹/۹۸ | ۱۱۴/۹۶ | انحراف میار |      |
| ۱۲۸۴۹  | ۱۱۵۵۵  | ۱۰۲۳۸   | ۸۹۳۵   | ۷۶۳۳   | بهترین      | FA   |
| ۱۲۹۲۴  | ۱۱۶۳۶  | ۱۰۳۰۰   | ۹۰۹۳   | ۷۷۲۵   | میانگین     |      |
| ۱۳۰۸۲  | ۱۱۶۷۴  | ۱۰۳۳۵   | ۹۱۴۶   | ۷۸۴۹   | بدترین      |      |
| ۹۳/۸۴  | ۷۴/۷۴  | ۸۸/۴۸   | ۹۸/۲۱  | ۱۲۷/۱۰ | انحراف میار |      |

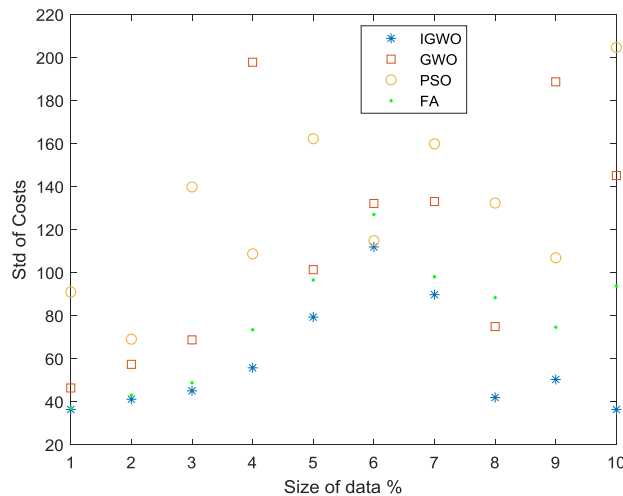
اعداد مربوط در جدول شماره (۵)، نشان‌دهنده اختلاف زمان میان زمان برنامه‌ریزی شده توسط الگوریتم‌های فرا ابتکاری مختلف بازمان پیش‌بینی شده می‌باشد. با توجه به جدول ۵ مشاهده می‌شود الگوریتم پیشنهادی گرگ خاکستری بهبودیافته (IGWO) در بهترین، میانگین، بدترین و انحراف میار تابع هزینه در ۲۰ بار اجرا برنامه ، درمجموع نسبت به سایر الگوریتم‌ها به نتایج بهتری دست یافته است. به عنوان مثال در حالت ۱۰ درصد داده‌ها، بهترین مقدار تابع هزینه به دست آمده از الگوریتم IGWO، ۱۴۱۵ است که در مقایسه با الگوریتم‌های GWO که مقدار عددی ۱۸۷۳ و FA با مقدار عددی ۱۸۷۳ و PSO با مقدار عددی ۱۰۰۲ است که در مقایسه با الگوریتم‌های GWO عددی ۱۲۳۳ نتیجه‌ی بهتری به دست آورده است. همچنین در حالت ۱۰۰ درصد داده‌ها الگوریتم پیشنهادی IGWO از نظر میانگین بهترین تابع هزینه در ۲۰ بار اجرا، مقدار عددی ۱۰۳۷۲ را به خود اختصاص داده که در مقایسه با الگوریتم‌های GWO که این مقدار عددی برابر با ۱۳۸۴۳، در الگوریتم PSO برابر با ۱۸۸۲۴ و در الگوریتم FA برابر با ۱۲۹۲۴ مقدار کمتری به دست آورده است. درمجموع مشاهده می‌شود که تمام اعداد مربوط به مقدار تابع هزینه‌ی به دست آمده از الگوریتم گرگ خاکستری بهبودیافته در مقایسه با سایر الگوریتم‌ها کوچک‌تر است. بنابراین کارایی و عملکرد بالای این الگوریتم در حل مسئله‌ی زمان‌بندی پرواز به نتیجه رسیده است. در شکل ۴ منحنی مقایسه‌ای مربوط به میانگین تابع هزینه به دست آمده از الگوریتم‌ها برای ۱۰۰ درصد داده‌ها نشان داده شده است. در شکل ۵ منحنی بهترین اجرا در میان ۲۰ بار اجرا برای هر الگوریتم نشان داده شد و در شکل شماره (۶)، منحنی انحراف میار مربوط به ۲۰ اجرا مشاهده می‌شود.



شکل شماره(۵): منحنی میانگین تابع هزینه بر حسب اندازه داده‌ها با استفاده از الگوریتم‌های IGWO,GWO,PSO,FA



شکل شماره(۶): منحنی بهترین اجرای تابع هزینه بر حسب اندازه داده‌ها با استفاده از الگوریتم‌های IGWO,GWO,PSO,FA



شکل شماره(۷): منحنی انحراف معیار اجرای تابع هزینه بر حسب اندازه داده‌ها با استفاده از الگوریتم‌های IGWO , GWO, PSO, FA

نتایج مشاهده شده در شکل شماره(۷)، نشان می‌دهد که نقاط مربوط به میانگین بهترین هزینه یافته شده بر حسب اندازه داده‌ها مشاهده می‌شود که به عنوان مثال نقطه [3 0.6] دایره‌ای شکل در این منحنی مربوط به الگوریتم بهینه‌سازی PSO است که از جدول شماره(۱)، مقدار ۵۷۹۱ برای این الگوریتم بدست آمده است. نقاط ستاره مربوط به الگوریتم IGWO است. نقاط نقطه‌ای، مربعی و دایره‌ای به ترتیب مربوط به الگوریتم‌های GWO, FA, PSO و بهینه‌سازی PSO است.

از شکل شماره(۵)، که منحنی مربوط به بهترین اجرا برای هر الگوریتم است، مشاهده می‌شود که بهترین نتیجه را الگوریتم پیشنهادی IGWO به دست آورده است. به ازای تمام اندازه‌های مختلف داده‌ها، الگوریتم پیشنهادی توانسته است مقادیر

کمتری در مقایسه با نقاط نقطه‌ای، مربعی و دایره‌ای به دست آورد. از شکل ۷ نیز مشاهده می‌شود که کمترین انحراف معیار به دست آمده مربوط به الگوریتم پیشنهادی IGWO است. فقط در ۱۰ درصد داده‌ها نتیجه آن با الگوریتم کرم شبتاب تقریباً مشابه شده است. با توجه به جدول ۵ مشاهده می‌شود که در مجموع الگوریتم پیشنهادی گرگ خاکستری بهبودیافته (IGWO) از نظر میانگین تابع هزینه بهتر عمل نموده است. در میان الگوریتم‌های دیگر، عملکرد الگوریتم کرم شبتاب (FA) بهتر از دو الگوریتم دیگر شده است، اما سرعت اجرای این الگوریتم کم است. در مجموع با توجه به نتایج به دست آمده، نتیجه می‌شود که الگوریتم گرگ خاکستری بهبودیافته پیشنهادی، عملکرد بهتری از نظر کمینه‌سازی تابع هزینه در تمام حالات مربوط به اندازه داده‌های مختلف در مقایسه با سایر الگوریتم‌ها داشته است.

به منظور حل مسئله زمان‌بندی فرود هوایی‌ها (ALP)، داده‌های مربوط به مجموعه داده‌های واقعی فرودگاه شهید هاشمی نژاد مشهد با استفاده از الگوریتم گرگ خاکستری بهبودیافته موربدبررسی و تحلیل قرار گرفت. الگوریتم پیشنهادی گرگ خاکستری بهبودیافته طوری طراحی شد که بتواند پروازها را به نحوی زمان‌بندی کند که به هدف کمینه‌سازی اختلاف میان زمان پیش‌بینی شده و زمان برنامه‌ریزی شده با در نظر گرفتن شرایط مسئله دست یابد. به منظور افزایش کارایی الگوریتم یک عملگر جهش و یک جستجوی تصادفی حول بهترین گرگ انجام شد و به منظور بهبود این الگوریتم بر اساس مقدار برازنده‌گی به دست آمده به ازای هر گرگ آلفا، بتا و دلتا، یک وزن به آن‌ها اختصاص داده شد که موقعیت جدید بر اساس این وزن دهی محاسبه شد. شبیه‌سازی‌ها بر روی ده درصد ای ۱۰۰ درصد داده‌ها انجام شد. به منظور ارزیابی عملکرد روش پیشنهادی، نتایج به دست آمده از آن با الگوریتم‌های بهینه‌سازی ازدحام ذرات، گرگ خاکستری معمولی و کرم شبتاب مقایسه شد که الگوریتم پیشنهادی عملکرد و کارایی قابل توجهی در مقایسه با سایر الگوریتم‌های مشابه خود داشته است.

بر اساس نتایج مقاله حاضر در راستا کاهش شکاف علمی پیشنهادهای ارائه می‌شود، می‌توان از الگوریتم پیشنهادی در کاربردهای مشابه با مسئله زمان‌بندی هواییما استفاده کرد. به نظر می‌رسد با توجه به ماهیت NP-hard مسئله زمان‌بندی پروازها (ALP)، رویکردهای فرا ابتکاری مبتنی بر هوش ازدحامی یکی از بهترین راههای رسیدن به جواب بهینه باشند. در این میان روش پیشنهادی در این پژوهش نیز نشان می‌دهد که استفاده از الگوریتم‌های فرا ابتکاری چنانچه به خوبی تنظیم شده باشد نتایج درخور توجهی ارائه می‌دهند. از این‌رو به محققین علاقه‌مند به این زمینه پیشنهاد می‌شود که با در نظر گرفتن الگوریتم‌های دیگری در زمینه‌ی هوش ازدحامی از جمله الگوریتم‌های ازدحام ذرات، خفash، کرم شبتاب به حل مسئله زمان‌بندی فرود هوایی‌ها در فرودگاه‌های دیگر با شرایط و قیدهای دیگری پرداخته شود.

#### ۴- منابع

1. Bencheikh, G., Boukachour, J., & Alaoui, A. E. H. (2016). A memetic algorithm to solve the dynamic multiple runway aircraft landing problem. *Journal of King Saud University-Computer and Information Sciences*, 28(1), 98-109.
2. Bennell, J. A., Mesgarpour, M., & Potts, C. N. (2017). Dynamic scheduling of aircraft landings. *European Journal of Operational Research*, 258(1), 315-327.
3. Caprì, S., & Ignaccolo, M. (2004). Genetic algorithms for solving the aircraft-sequencing problem: the introduction of departures into the dynamic model. *Journal of Air Transport Management*, 10(5), 345-351.
4. Deng, Q., Santos, B. F., & Curran, R. (2020). A practical dynamic programming based methodology for aircraft maintenance check scheduling optimization. *European Journal of Operational Research*, 281(2), 256-273.
5. Deng, Q., Santos, B. F., & Curran, R. (2020). A practical dynamic programming based methodology for aircraft maintenance check scheduling optimization. *European Journal of Operational Research*, 281(2), 256-273.
6. Ikli, S., Mancel, C., Mongeau, M., Olive, X., & Rachelson, E. (2020, June). Coupling Mathematical Optimization and Machine Learning for the Aircraft Landing Problem. In *ICRAT 2020, 9th International Conference for Research in Air Transportation*.

7. Li, L., Sun, L., Guo, J., Qi, J., Xu, B., & Li, S. (2017). Modified discrete grey wolf optimizer algorithm for multilevel image thresholding. *Computational intelligence and neuroscience*, 2017.
8. Liu, M., Liang, B., Zheng, F., Chu, C., & Chu, F. (2018, July). A two-stage stochastic programming approach for aircraft landing problem. In *2018 15th International Conference on Service Systems and Service Management (ICSSSM)* (pp. 1-6). IEEE.
9. Mahmud, A. A., & Jebersen, W. (2017). Review on Dynamic Aircraft Scheduling. *International Journal of Pure and Applied Mathematics*, 117(21), 753-767.
10. Mirjalili, S., Mirjalili, S. M., & Lewis, A. (2014). Grey wolf optimizer. *Advances in engineering software*, 69, 46-61.
11. Mokhtarimousavi, S., Rahami, H., & Kaveh, A. (2015). Multi-objective mathematical modeling of aircraft landing problem on a runway in static mode, scheduling and sequence determination using NSGA-II. *Iran University of Science & Technology*, 5(1), 21-36.
12. Mokhtarimousavi, S., Rahami, H., Saffarzadeh, M., & Piri, S. (2014). Determination of the aircraft landing sequence by two meta-heuristic algorithms. *International Journal of Transportation Engineering*, 1(4), 271-284.
13. Mokhtarimousavi, S., Talebi, D., & Asgari, H. (2018). A non-dominated sorting genetic algorithm approach for optimization of multi-objective airport gate assignment problem. *Transportation Research Record*, 2672(23), 59-70.
14. Ng, K. K. H., Lee, C. K. M., Chan, F. T., & Qin, Y. (2017). Robust aircraft sequencing and scheduling problem with arrival/departure delay using the min-max regret approach. *Transportation Research Part E: Logistics and Transportation Review*, 106, 115-136.
15. Prakash, R., Piplani, R., & Desai, J. (2018). An optimal data-splitting algorithm for aircraft scheduling on a single runway to maximize throughput. *Transportation Research Part C: Emerging Technologies*, 95, 570-581.
16. Ren, Y., Lu, Z., & Liu, X. (2020). A branch-and-bound embedded genetic algorithm for resource-constrained project scheduling problem with resource transfer time of aircraft moving assembly line. *Optimization Letters*, 1-35.
17. Ruan, J. H., Wang, Z. X., Chan, F. T., Patnaik, S., & Tiwari, M. K. (2021). A reinforcement learning-based algorithm for the aircraft maintenance routing problem. *Expert Systems with Applications*, 169, 114399.
18. Salehipour, A., Modarres, M., & Naeni, L. M. (2013). An efficient hybrid meta-heuristic for aircraft landing problem. *Computers & Operations Research*, 40(1), 207-213.
19. Shahmoradi-Moghadam, H., Safaei, N., & Sadjadi, S. J. (2021). Robust Maintenance Scheduling of Aircraft Fleet: A Hybrid Simulation-Optimization Approach. *IEEE Access*, 9, 17854-17865.
20. Sylejmani, K., Bytyçi, E., & Dika, A. (2017). Solving aircraft sequencing problem by using genetic algorithms. *Intelligent Decision Technologies*, 11(4), 451-463.
21. Vadlamani, S., & Hosseini, S. (2014). A novel heuristic approach for solving aircraft landing problem with single runway. *Journal of Air Transport Management*, 40, 144-148.
22. Wei, M., Sun, B., Wu, W., & Jing, B. (2020). A multiple objective optimization model for aircraft arrival and departure scheduling on multiple runways. *Mathematical Biosciences and Engineering*, 17(5), 5545-5560.
23. Wei, M., Zhao, L., Ye, Z., & Jing, B. (2020). An integrated optimization mode for multi-type aircraft flight scheduling and routing problem [J]. *Mathematical Biosciences and Engineering*, 17(5), 4990-5004.

24. Xu, B. (2017). An efficient Ant Colony algorithm based on wake-vortex modeling method for aircraft scheduling problem. *Journal of Computational and Applied Mathematics*, 317, 157-170.
25. Yu, S. P., Cao, X. B., & Zhang, J. (2011). A real-time schedule method for Aircraft Landing Scheduling problem based on Cellular Automation. *Applied Soft Computing*, 11(4), 3485-3493.
26. ZHANG, J., ZHAO, P., YANG, C., & HU, R. (2020). A New Meta- Heuristic Approach for Aircraft Landing Problem. *Transactions of Nanjing University of Aeronautics and Astronautics*. (37) 2, 197-208.
27. Zhang, J., Zhao, P., Zhang, Y., Dai, X., & Sui, D. (2020). Criteria selection and multi-objective optimization of aircraft landing problem. *Journal of Air Transport Management*, 82, 101734.
28. Zheng, S., Yang, Z., He, Z., Wang, N., Chu, C., & Yu, H. (2020). Hybrid simulated annealing and reduced variable neighbourhood search for an aircraft scheduling and parking problem. *International Journal of Production Research*, 58(9), 2626-2646.
29. Zulkifli, A., Aziz, N. A. A., Aziz, N. H. A., Ibrahim, Z., & Mokhtar, N. (2018). Review on computational techniques in solving aircraft landing problem. 128-131

## Air traffic flow management of incoming flights Using MOGWO and NSGAII approach (Case study: Mashhad International Airport)

**Manezhe Teimoori**

Ph.D. candidate, department of management, Tabriz branch, Islamic Azad University

**Houshang Taghi Zadeh** (Corresponding Author)

Associate Professor, Department of Management, Tabriz Branch, Islamic Azad University, Tabriz, Iran

**Jafar Pourmahmoud**

Shahid Madani University of Azerbaijan, Department of Applied Mathematics, Tabriz, Iran

**Morteza Honarmand Azimi**

Department of Management, Tabriz Branch, Islamic Azad University, Tabriz, Iran

### Abstract

Air traffic management is one of the most sensitive and stressful jobs that face various problems and obstacles every day, and the issue of aircraft sequencing is one of the most important issues addressed in the field of flight surveillance work these days. Sooner or later than the specified time, there is a cost per flight, and existing techniques do not measure time factors, so the cost of delay penalties is very high, while there are many techniques to reduce this. There is a penalty. For this purpose, in this article, the issue of aircraft landing is investigated and then, with the help of an optimization function, a model is provided to increase efficiency. In general, the problem of sequencing tasks is to determine the order in which they are performed on machines in order to decrease (or increase) the desired criterion. In the problem of optimization, determining the order of entry operations is considered both in regulations and in scholarly journals. In the early stages of air traffic sequencing, feature-based inbound management and navigation are used to expand design horizons, enabling traffic surveillance in both take-off and landing modes. Therefore, this article focuses on the landing sequence of aircraft and does this by examining parameters such as reducing apron and parking costs, minimizing latency and early arrival times, as well as minimizing fuel consumption costs. Finally, this paper aims to obtain a new way to improve the quality of scheduling programs and reduce its execution time by using approved theoretical algorithms and adapting them to the existing challenges in the field of scheduling. In this regard, experiments Experiments were performed on the data set of Mashhad Shahid Hasheminejad International Airport and the results showed that the main objectives of the aircraft landing schedule can be better achieved using this method.

**Keywords:** Air Traffic, Flow Management, MOGWO, NSGAII.